

# КОНДАКТАНС КВАНТОВОГО КОЛЬЦА СО СПИН-ОРБИТАЛЬНЫМ ВЗАИМОДЕЙСТВИЕМ В ПРИСУТСТВИИ ПРИМЕСИ

*В. М. Ковалев\*, А. В. Чаплик*

*Институт физики полупроводников Сибирского отделения Российской академии наук  
630090, Новосибирск, Россия*

Поступила в редакцию 23 мая 2006 г.

В работе вычислен кондактанс квантового кольца на основе туннельного гамильтониана в квазибаллистическом режиме движения электронов с учетом спин-орбитального взаимодействия. Рассмотрено влияние рассеяния электронов одиночной короткодействующей примесью в квантовом кольце на туннельный ток электронов. Изучены примеси двух видов: бесспиновая и парамагнитная. Обсуждается симметрия кондактанса для различных ориентаций спина электрона по отношению к изменению знака магнитного потока через квантовое кольцо.

PACS: 73.23.-b, 72.10.-d, 71.70.Ej

## 1. ВВЕДЕНИЕ

В связи с интенсивным развитием спинтроники большой интерес вызывают структуры, в которых удастся манипулировать спиновой степенью свободы носителей заряда [1]. Одна из таких возможностей предложена в работе [2], где рассмотрена возможность спиновой поляризации туннельных токов в системах с квантовыми кольцами. Спин-зависимое разделение токов происходит вследствие спин-орбитального взаимодействия электронов в области квантового кольца. Зависимость константы спин-орбитального взаимодействия от напряжения на затворе структуры дает возможность управлять спиновой поляризацией тока. В связи с этим несколько теоретических работ было посвящено расчету кондактанса квантового кольца со спин-орбитальным взаимодействием в баллистическом режиме [2–6]. Наложение магнитного поля (потока) приводит к осцилляциям спин-поляризованных токов. Присутствие примесей может существенно изменить движение электронов в квантовом кольце в квазибаллистическом режиме. Отметим, что хотя роль примесей в структурах с квантовыми кольцами неоднократно

обсуждалась в литературе [7–11], эффекты, связанные со спин-орбитальным взаимодействием, в этих работах не рассматривались. При наличии спин-орбитального взаимодействия присутствие примесей может сказаться и в спиновой поляризации токов, поскольку электроны могут рассеиваться в квантовом кольце на примесях с переворотом спина.

При рассмотрении туннелирования электронов в мезоскопических системах, содержащих квантовые точки или квантовые кольца, в современной литературе используются два подхода. Первый основан на описании системы с помощью туннельного гамильтониана. На основании этого подхода было рассмотрено большое число явлений в мезоскопических системах: резонансное туннелирование [12, 13], эффекты многократного туннелирования (cotunneling process) [14, 15], эффект Кондо [16–20], фано-эффект [21–23] и т. д. Второй способ основан на рассмотрении матрицы рассеяния в точках крепления контактов к квантовой точке или кольцу (волноводный метод — waveguide approach). Основываясь на условии сохранения полного тока в точке крепления контакта и симметрии по отношению к обращению времени, несложно записать наиболее общий вид матрицы рассеяния [24, 25]. Тогда для нахождения коэффициента прохождения (через

\*E-mail: vadimkovalev@isp.nsc.ru

него выражается кондактанс системы) достаточно решить систему уравнений для амплитуд отраженных/прошедших волн. В недавней работе [26] продемонстрирована эквивалентность обоих методов расчета.

В настоящей работе мы воспользуемся методом туннельного гамильтониана, поскольку одновременный учет спин-орбитального взаимодействия и рассеяния электрона на парамагнитной примеси в рамках волноводного метода приводит к весьма громоздким выражениям.

## 2. КОНДАКТАНС КВАНТОВОГО КОЛЬЦА БЕЗ ПРИМЕСЕЙ

Общей теории туннелирования электронов через область с дискретным спектром (например, квантовую точку или квантовое кольцо), туннельно-связанную с правым/левым контактом, посвящены работы [27, 28]. При расчете кондактанса в квантовом кольце мы будем следовать этим работам. Гамильтониан изучаемой системы запишем в виде

$$H = \sum_{k,\eta,\sigma} \varepsilon_{\eta k\sigma} c_{\eta k\sigma}^+ c_{\eta k\sigma} + \sum_{k,\eta,\sigma,m} \left( T_{\eta m\sigma} c_{\eta k\sigma}^+ a_{m\sigma} + T_{\eta m\sigma}^* a_{m\sigma}^+ c_{\eta k\sigma} \right) + \sum_{m,\sigma} E_{m\sigma} a_{m\sigma}^+ a_{m\sigma} + \sum_{m',\sigma',m,\sigma} V_{m'\sigma';m\sigma} a_{m'\sigma'}^+ a_{m\sigma}. \quad (1)$$

Здесь  $\varepsilon_{\eta k\sigma}$  — энергия электронов в левом ( $\eta = L$ )/правом ( $\eta = R$ ) контакте;  $k$  — волновой вектор электронов в контактах,  $\sigma(\uparrow, \downarrow)$  — спиновый индекс,  $c_{\eta k\sigma}^+$  ( $c_{\eta k\sigma}$ ) — оператор рождения (уничтожения) электронов в контактах;  $T_{\eta m\sigma}$  — амплитуда туннелирования из  $\eta$ -го контакта на уровень  $E_{m\sigma}$  в квантовом кольце,  $a_{m\sigma}^+$  ( $a_{m\sigma}$ ) — оператор рождения (уничтожения) электронов в квантовом кольце на этом уровне. Мы считаем, что процесс туннелирования происходит с сохранением спина. Четвертый член в выражении (1) — спин-орбитальное взаимодействие (СОВ). В дальнейшем будем рассматривать СОВ, обусловленное асимметрией ограничивающего потенциала двумерной системы в виде, предложенном Бычковым и Рашба [29], который в одномерном квантовом кольце в координатном представлении имеет вид [30]

$$V(\varphi) = \frac{\alpha}{2a} \left[ e^{-i\varphi}, \left( -i \frac{d}{d\varphi} + \Phi \right) \right]_+ \sigma_+ + \frac{\alpha}{2a} \left[ e^{i\varphi}, \left( -i \frac{d}{d\varphi} + \Phi \right) \right]_+ \sigma_-, \quad (2)$$

где  $a$  — радиус кольца,  $\alpha$  — постоянная спин-орбитального взаимодействия,  $\varphi$  — угол в полярной системе координат,  $\sigma_{\pm} = \sigma_x \pm i\sigma_y$ ,  $\sigma_x, \sigma_y$  — матрицы Паули,  $[\dots, \dots]_+$  — антикоммутатор,  $\Phi$  — магнитный поток сквозь кольцо в единицах кванта  $\Phi_0 = hc/e$ . Уровни энергии электрона в одномерном квантовом кольце без учета СОВ —  $E_{m\sigma} = B(m + \Phi - \sigma/2)^2$ , здесь  $\sigma = \pm 1$  соответственно для  $\sigma = \uparrow, \downarrow$ ,  $B = \hbar^2/2m^*a^2$ , а соответствующие волновые функции имеют вид

$$\psi_{m\sigma}(\varphi) = \frac{1}{\sqrt{2\pi}} e^{i(m-\sigma/2)\varphi} |\sigma\rangle. \quad (3)$$

Здесь величина  $m$  принимает полуцелые значения  $m = \pm 1/2, \pm 3/2, \dots$ . Для отличных от нуля матричных элементов оператора (2) в базе (3) получаем

$$V_{m'\uparrow, m\downarrow} = V_{m'\downarrow, m\uparrow} = V_m \delta_{m', m}, \quad (4)$$

$$V_m = \frac{\alpha}{a} (m + \Phi).$$

Исходя из вида гамильтониана (1) и следуя процедуре вычислений, изложенной в работах [27, 28], для спин-поляризованного тока через квантовое кольцо получаем выражение

$$I_{\sigma} = \frac{ie}{2h} \int d\varepsilon \sum_m \left( [\Gamma_{m\sigma}^L(\varepsilon) - \Gamma_{m\sigma}^R(\varepsilon)] G_{m\sigma, m\sigma}^<(\varepsilon) \right) + \frac{ie}{2h} \int d\varepsilon \sum_m \left( [f_L(\varepsilon)\Gamma_{m\sigma}^L(\varepsilon) - f_R(\varepsilon)\Gamma_{m\sigma}^R(\varepsilon)] \times \right. \\ \left. \times [G_{m\sigma, m\sigma}^R(\varepsilon) - G_{m\sigma, m\sigma}^A(\varepsilon)] \right),$$

где  $\Gamma_{m\sigma}^{\eta}(\varepsilon) = 2\pi |T_{\eta m\sigma}|^2 \rho_{\eta}(\varepsilon)$  — туннельное уширение уровней в квантовом кольце,  $\rho_{\eta}(\varepsilon)$ ,  $f_{\eta}(\varepsilon)$  — соответственно плотность состояний и распределение Ферми в  $\eta$ -м контакте,  $G_{m\sigma, m\sigma}^R(\varepsilon) = (G_{m\sigma, m\sigma}^A(\varepsilon))^*$ ,  $G_{m\sigma, m\sigma}^<(\varepsilon)$  — функции Грина электронов в квантовом кольце. Далее будем рассматривать симметричную систему и в этом случае  $\Gamma_{m\sigma}^L = \Gamma_{m\sigma}^R \equiv \Gamma_{m\sigma}$ . Отметим, что мы рассматриваем ситуацию слабой связи кольца с контактами  $\Gamma_{m\sigma} \ll \hbar^2/2m^*a^2$ . В работе [25] для характеристики величины связи используется параметр  $\varepsilon$  (используем обозначение, введенное в работе [25]), где  $0 \leq \varepsilon \leq 1/2$ . Предельные значения соответствуют изолированному  $\varepsilon = 0$  и полностью проводящему кольцу  $\varepsilon = 1/2$ . В нашем случае условие  $\Gamma_{m\sigma} \ll \hbar^2/2m^*a^2$  соответствует  $0 < \varepsilon \ll 1/2$ .

Выражение для кондактанса с данной проекцией спина имеет вид

$$g_{\sigma} = -\frac{e^2}{h} \int d\varepsilon \left( -\frac{\partial f}{\partial \varepsilon} \right) \sum_m \Gamma_{m\sigma} \text{Im} G_{m\sigma, m\sigma}^R(\varepsilon). \quad (5)$$

Как видно из этого выражения, для вычисления кондактанса системы требуется знать функции Грина электронов в квантовом кольце. По определению

$$iG_{m\sigma, n\sigma'}^R(t-t') = \langle [a_{m\sigma}(t), a_{n\sigma'}^\dagger(t')]_+ \rangle \theta(t-t'), \quad (6)$$

$$\hbar = 1,$$

где угловые скобки означают статистическое усреднение,  $\theta(x)$  — функция Хевисайда. Для нахождения функции (6) воспользуемся уравнением Дайсона

$$G_{m\sigma, n\sigma'}^R(\omega) = \delta_{m,n} \delta_{\sigma,\sigma'} G_{m\sigma}^{R0}(\omega) + \delta_{\sigma\uparrow} G_{m\sigma}^{R0}(\omega) V_m G_{m\downarrow, n\sigma'}^R(\omega) + \delta_{\sigma\downarrow} G_{m\sigma}^{R0}(\omega) V_m G_{m\uparrow, n\sigma'}^R(\omega), \quad (7)$$

где

$$G_{m\sigma}^{R0}(\omega) = (\omega - E_{m\sigma} + i\Gamma_{m\sigma})^{-1}.$$

Уравнение (7) представляет собой матричное уравнение по индексам  $(\sigma, \sigma') = \uparrow, \downarrow$ . Выпишем два уравнения (остальные два аналогичны):

$$G_{m\uparrow, n\uparrow}^R(\omega) = \delta_{n,m} G_{m\uparrow}^{R0}(\omega) + G_{m\uparrow}^{R0}(\omega) V_m G_{m\downarrow, n\uparrow}^R(\omega), \quad (8)$$

$$G_{m\downarrow, n\uparrow}^R(\omega) = G_{m\downarrow}^{R0}(\omega) V_m G_{m\uparrow, n\uparrow}^R(\omega),$$

решение которых имеет вид

$$G_{m\uparrow, n\uparrow}^R(\omega) = \delta_{n,m} \frac{G_{m\uparrow}^{R0}(\omega)}{1 - G_{m\uparrow}^{R0}(\omega) V_m^2 G_{m\downarrow}^{R0}(\omega)}, \quad (8')$$

$$G_{m\downarrow, n\uparrow}^R(\omega) = \delta_{n,m} \frac{G_{m\downarrow}^{R0}(\omega) V_m G_{m\uparrow}^{R0}(\omega)}{1 - G_{m\uparrow}^{R0}(\omega) V_m^2 G_{m\downarrow}^{R0}(\omega)}.$$

Полюсы этих выражений дают спектр квантового кольца со спин-орбитальным взаимодействием. Кондактанс системы находится подстановкой (8) в выражение (5).

### 3. КОНДАКТАНС КВАНТОВОГО КОЛЬЦА С БЕССПИНОВОЙ ПРИМЕСЬЮ

Для вычисления кондактанса квантового кольца в присутствии примеси уравнение (7) следует дополнить членом, описывающим электрон-примесное

взаимодействие. Для короткодействующей примеси ( $U(\varphi) = U_0\delta(\varphi)$ , где  $U_0 > 0$ ) имеем

$$H_{imp} = U_0 \sum_{m,\sigma,n,\sigma'} a_{m\sigma}^\dagger a_{n\sigma'}.$$

Тогда вместо (8) получаем

$$G_{m\uparrow, n\uparrow}^R(\omega) = \delta_{n,m} G_{m\uparrow}^{R0}(\omega) + G_{m\uparrow}^{R0}(\omega) \times V_m G_{m\downarrow, n\uparrow}^R(\omega) + U_0 G_{m\uparrow}^{R0}(\omega) \Lambda_n^{\uparrow\uparrow}, \quad (9)$$

$$G_{m\downarrow, n\uparrow}^R(\omega) = G_{m\downarrow}^{R0}(\omega) V_m G_{m\uparrow, n\uparrow}^R(\omega) + U_0 G_{m\downarrow}^{R0}(\omega) \Lambda_n^{\downarrow\uparrow},$$

где введено обозначение  $\Lambda_n^{\sigma,\sigma'} = \sum_m G_{m\sigma, n\sigma'}^R(\omega)$ . После несложных преобразований в формулах (9) для величин  $\Lambda_n^{\uparrow\uparrow}, \Lambda_n^{\downarrow\uparrow}$  получаем систему уравнений

$$\Lambda_n^{\uparrow\uparrow}(1 - U_0 S_\uparrow) = S_{n\uparrow} + U_0 K \Lambda_n^{\downarrow\uparrow}, \quad (10)$$

$$\Lambda_n^{\downarrow\uparrow}(1 - U_0 S_\downarrow) = K_n + U_0 K \Lambda_n^{\uparrow\uparrow}.$$

Здесь для краткости обозначено

$$S_{n\sigma} = \frac{G_{n\sigma}^{R0}}{1 - G_{n\uparrow}^{R0} V_n^2 G_{n\downarrow}^{R0}}, \quad S_\sigma = \sum_n S_{n\sigma}, \quad (11)$$

$$K_n = \frac{G_{n\uparrow}^{R0} V_n G_{n\downarrow}^{R0}}{1 - G_{n\uparrow}^{R0} V_n^2 G_{n\downarrow}^{R0}}, \quad K = \sum_n K_n.$$

Решение системы (10) имеет вид

$$\Lambda_n^{\uparrow\uparrow} = \frac{S_{n\uparrow}(1 - U_0 S_\downarrow) + U_0 K K_n}{(1 - U_0 S_\uparrow)(1 - U_0 S_\downarrow) - U_0^2 K^2}, \quad (12)$$

$$\Lambda_n^{\downarrow\uparrow} = \frac{K_n(1 - U_0 S_\uparrow) + U_0 K S_{n\uparrow}}{(1 - U_0 S_\uparrow)(1 - U_0 S_\downarrow) - U_0^2 K^2}.$$

Выражения для величин  $\Lambda_n^{\downarrow\downarrow}, \Lambda_n^{\uparrow\downarrow}$  находятся совершенно аналогично. Отметим, что выражения (12) при  $U_0 = 0$  эквивалентны (8). Таким образом, подставляя (12) в (9), можно найти функцию Грина электрона в квантовом кольце в присутствии бесспиновой примеси:

$$G_{n\uparrow, m\uparrow}^R(\omega) = \delta_{n,m} S_{n\uparrow} + U_0 \frac{K_n K_m (1 - U_0 S_\uparrow) + S_{n\uparrow} S_{m\uparrow} (1 - U_0 S_\downarrow) + U_0 K (K_n S_{m\uparrow} + S_{n\uparrow} K_m)}{(1 - U_0 S_\uparrow)(1 - U_0 S_\downarrow) - U_0^2 K^2}. \quad (13)$$

Выражение для  $G_{n\downarrow, m\downarrow}^R$  получается из (13) заменой  $\uparrow \leftrightarrow \downarrow$ . Кондактанс системы находится из формулы (5) с учетом равенства (13). Результаты расчета обсуждаются в разд. 5.

#### 4. КОНДАКТАНС КВАНТОВОГО КОЛЬЦА С ПАРАМАГНИТНОЙ ПРИМЕСЬЮ

В случае парамагнитной примеси энергия взаимодействия определяется как  $H_{mag} = J\mathbf{S}\mathbf{s}\delta(\varphi)$ . Здесь  $\mathbf{S}$  — оператор спина магнитной примеси,  $\mathbf{s} = (1/2)\boldsymbol{\sigma}$  — оператор спина электрона. Для определенности рассмотрим парамагнитную примесь со спином  $S = 1/2$ . Волновые функции электронов в квантовом кольце и контактах можно представить в виде линейной суперпозиции:

$$\begin{aligned} \Psi_{ring} &= \sum_{m\alpha} A_{m\alpha} \psi_{m\alpha} \chi_{\alpha}, \\ \Psi_{contact} &= \sum_{k\eta\alpha} C_{k\eta\alpha} \varphi_{k\alpha} \chi_{\alpha}. \end{aligned} \quad (14)$$

Здесь  $\psi_{m\alpha}$ ,  $\varphi_{k\eta\alpha}$  — волновые функции орбитального движения электронов соответственно в кольце и контактах,  $A$  и  $C$  — операторы уничтожения электрона соответственно в квантовом кольце и контактах. Спиновая часть  $\chi_{\alpha}$  волновой функции выбирается в виде

$$\begin{aligned} \chi_1 &= |\uparrow_e\rangle \otimes |\uparrow_i\rangle, & \chi_2 &= |\downarrow_e\rangle \otimes |\downarrow_i\rangle, \\ \chi_3 &= |\uparrow_e\rangle \otimes |\downarrow_i\rangle, & \chi_4 &= |\downarrow_e\rangle \otimes |\uparrow_i\rangle. \end{aligned} \quad (15)$$

Волновая функция орбитального движения электрона в кольце дается уравнением (3) с  $\sigma = 1$  для  $\alpha = 1, 3$  и  $\sigma = -1$  для  $\alpha = 2, 4$ . Можно показать, что кондактанс системы снова определяется выражением (5) с заменой индекса  $\sigma$ , нумеровавшего спиновые состояния электрона в случае бесспиновой примеси на индекс  $\alpha$ , нумерующий состояния (15). Таким образом, для вычисления функции Грина снова решаем матричное  $(4 \times 4)$  уравнение Дайсона:

$$\begin{aligned} G_{m\alpha, n\beta}^R &= \delta_{m,n} \delta_{\alpha,\beta} G_{m\alpha}^{R0} + G_{m\alpha}^{R0} \sum_{l\gamma} (V)_{m\alpha, l\gamma} G_{l\gamma, n\beta}^R + \\ &+ G_{m\alpha}^{R0} J \sum_{\gamma} (\mathbf{S}\mathbf{s})_{\alpha, \gamma} \sum_l G_{l\gamma, n\beta}^R, \end{aligned} \quad (16)$$

где матрицы  $(\mathbf{S}\mathbf{s})_{\alpha, \gamma}$  и  $(V)_{m\alpha, l\gamma}$  имеют вид (в базе (15))

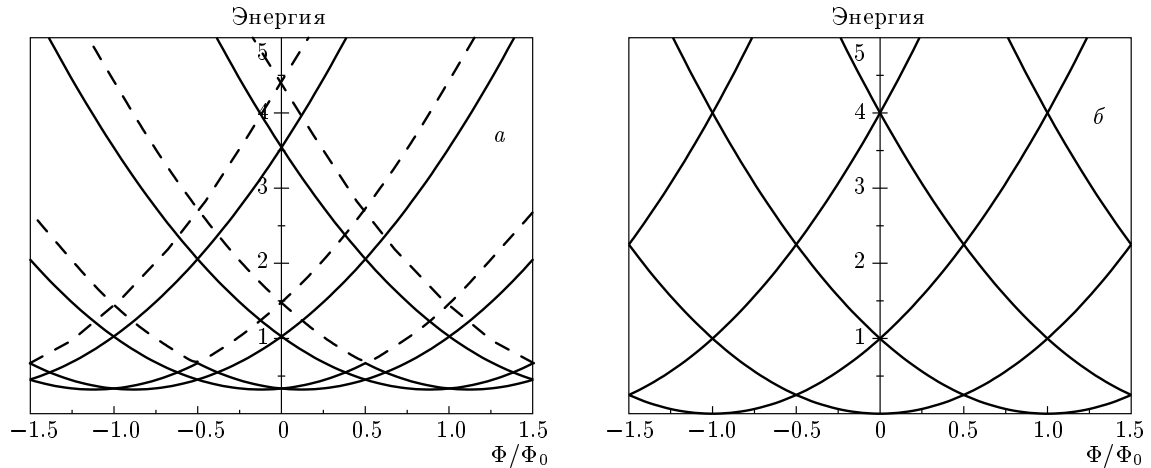
$$\begin{aligned} (\mathbf{S}\mathbf{s})_{\alpha, \gamma} &= \frac{1}{4} \begin{pmatrix} 1 & 0 & 0 & 0 \\ 0 & 1 & 0 & 0 \\ 0 & 0 & -1 & 2 \\ 0 & 0 & 2 & -1 \end{pmatrix}, \\ (V)_{m\alpha, l\gamma} &= V_m \delta_{m,l} \begin{pmatrix} 0 & 0 & 0 & 1 \\ 0 & 0 & 1 & 0 \\ 0 & 1 & 0 & 0 \\ 1 & 0 & 0 & 0 \end{pmatrix}, \end{aligned} \quad (17)$$

и величина  $V_m$  определена в формулах (4). В развернутом виде уравнение (16) можно записать следующим образом:

$$\begin{aligned} G_{m1, n\beta}^R &= \delta_{m,n} \delta_{1,\beta} G_{m1}^{R0} + G_{m1}^{R0} V_m G_{m4, n\beta}^R + \\ &+ G_{m1}^{R0} \frac{J}{4} \Lambda_n^{1,\beta}, \\ G_{m2, n\beta}^R &= \delta_{m,n} \delta_{2,\beta} G_{m2}^{R0} + G_{m2}^{R0} V_m G_{m3, n\beta}^R + \\ &+ G_{m2}^{R0} \frac{J}{4} \Lambda_n^{2,\beta}, \\ G_{m3, n\beta}^R &= \delta_{m,n} \delta_{3,\beta} G_{m3}^{R0} + G_{m3}^{R0} V_m G_{m2, n\beta}^R + \\ &+ G_{m3}^{R0} \frac{J}{4} (2\Lambda_n^{4,\beta} - \Lambda_n^{3,\beta}), \\ G_{m4, n\beta}^R &= \delta_{m,n} \delta_{4,\beta} G_{m4}^{R0} + G_{m4}^{R0} V_m G_{m1, n\beta}^R + \\ &+ G_{m4}^{R0} \frac{J}{4} (2\Lambda_n^{3,\beta} - \Lambda_n^{4,\beta}), \end{aligned} \quad (18)$$

где  $\Lambda_n^{\alpha,\beta} = \sum_m G_{m\alpha, n\beta}^R$ . Как следует из выражений (18), спин-орбитальное взаимодействие (вторые члены в правой части) связывает между собой функции Грина с индексами  $(1, \beta)$  и  $(4, \beta)$ ,  $(2, \beta)$  и  $(3, \beta)$ . Однако присутствие членов, описывающих спин-флип-процессы (первые члены в скобках), связывает функции  $(3, \beta)$  и  $(4, \beta)$ . Таким образом, система уравнений (18) уже не распадается на две пары уравнений, как это было в случае бесспиновой примеси. После несложных, но довольно громоздких преобразований, получаем систему уравнений для величин  $\Lambda_n^{\alpha,\beta}$  (обозначения см. (11)):

$$\begin{pmatrix} 1 - \frac{J}{4} S_{\uparrow} & 0 & -\frac{J}{2} K & \frac{J}{4} K \\ 0 & 1 - \frac{J}{4} S_{\downarrow} & \frac{J}{4} K & -\frac{J}{2} K \\ 0 & -\frac{J}{4} K & 1 + \frac{J}{4} S_{\uparrow} & -\frac{J}{2} S_{\uparrow} \\ -\frac{J}{4} K & 0 & -\frac{J}{2} S_{\downarrow} & 1 + \frac{J}{4} S_{\downarrow} \end{pmatrix} \times \begin{pmatrix} \Lambda_n^{1\beta} \\ \Lambda_n^{2\beta} \\ \Lambda_n^{3\beta} \\ \Lambda_n^{4\beta} \end{pmatrix} = \begin{pmatrix} \delta_{1\beta} S_{n\uparrow} + \delta_{4\beta} K_n \\ \delta_{2\beta} S_{n\downarrow} + \delta_{3\beta} K_n \\ \delta_{3\beta} S_{n\uparrow} + \delta_{2\beta} K_n \\ \delta_{4\beta} S_{n\downarrow} + \delta_{1\beta} K_n \end{pmatrix}. \quad (19)$$



**Рис. 1.** Энергетический спектр баллистического квантового кольца со спин-орбитальным взаимодействием (а) и без спин-орбитального взаимодействия (б) в зависимости от магнитного потока. Сплошные линии соответствуют состояниям с отрицательной хиральностью  $\omega_m^-$ , штриховые — состояниям с положительной хиральностью  $\omega_m^+$ . Постоянная спин-орбитального взаимодействия  $\alpha = 3.2 \cdot 10^{-22}$  эрг·см. Энергия дана в единицах вращательного кванта  $B = \hbar^2/2m^*a^2$

Решение этой системы следует подставить в формулы (18), чтобы получить функцию Грина электрона в квантовом кольце в присутствии парамагнитной примеси:

$$\begin{aligned}
 G_{m1,n1}^R &= \delta_{m,n} S_{m\uparrow} + \frac{J}{4} K_m (2\Lambda_n^{3,1} - \Lambda_n^{4,1}) + \\
 &\quad + \frac{J}{4} S_{m\uparrow} \Lambda_n^{1,1}, \\
 G_{m2,n2}^R &= \delta_{m,n} S_{m\downarrow} + \frac{J}{4} K_m (2\Lambda_n^{4,2} - \Lambda_n^{3,2}) + \\
 &\quad + \frac{J}{4} S_{m\downarrow} \Lambda_n^{2,2}, \\
 G_{m3,n3}^R &= \delta_{m,n} S_{m\uparrow} + \frac{J}{4} S_{m\uparrow} (2\Lambda_n^{4,3} - \Lambda_n^{3,3}) + \\
 &\quad + \frac{J}{4} K_m \Lambda_n^{2,3}, \\
 G_{m4,n4}^R &= \delta_{m,n} S_{m\downarrow} + \frac{J}{4} S_{m\downarrow} (2\Lambda_n^{3,4} - \Lambda_n^{4,4}) + \\
 &\quad + \frac{J}{4} K_m \Lambda_n^{1,4}.
 \end{aligned}
 \tag{20}$$

Решение системы (19) и расчет кондактанса проводились численными методами. Результаты расчета представлены в разд. 5.

### 5. РЕЗУЛЬТАТЫ РАСЧЕТА

Будем рассматривать случай нулевой температуры. В этом случае можно провести интегрирование в формуле (5) и получить

$$g_\sigma = -\frac{e^2}{h} \sum_m \Gamma_{m\sigma}(\mu) \text{Im} G_{m\sigma,m\sigma}^R(\mu), \tag{21}$$

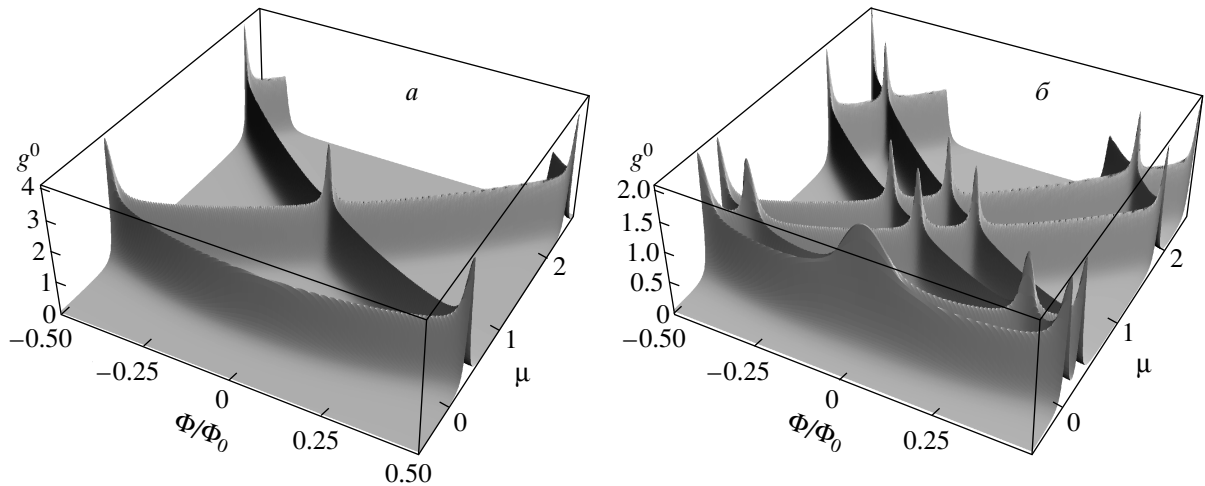
где  $\mu$  — химический потенциал контактов. Несложно понять, что кондактанс квантового кольца как функция магнитного потока и химического потенциала имеет резонансы, положение и высота которых определяется положением (квази)дискретных уровней энергии электрона в квантовом кольце (полюсами функции Грина), которые, в свою очередь, сильно зависят от мощности дельта-функции  $U_0$  и параметра  $J$ , тогда как ширина резонансов определяется величиной  $\Gamma_{m\sigma}$ . Положение уровней энергии в баллистическом кольце (без примеси) можно найти, приравняв знаменатель в формулах (8') нулю:

$$1 - G_{m\uparrow}^{R0}(\omega) V_m^2 G_{m\downarrow}^{R0}(\omega) = 0. \tag{22}$$

Решение этого уравнения имеет вид

$$\begin{aligned}
 \omega_m^\pm &= \frac{B}{4} + B(m + \Phi)^2 \pm \\
 &\quad \pm |m + \Phi| \sqrt{B^2 + \left(\frac{\alpha}{a}\right)^2} - i\Gamma_m,
 \end{aligned}
 \tag{23}$$

где  $m = \pm 1/2, \pm 3/2, \dots$ . На рис. 1 показан спектр кольца (23). Поскольку состояния в кольце являются квазидискретными (решения (23) — комплексные числа), на рис. 1а представлена действительная часть соответствующих уровней энергии. Для сравнения на рис. 1б показан спектр баллистического кольца без учета спин-орбитального взаимодействия:  $E_\ell = B(\ell + \Phi)^2$ ,  $\ell = 0, \pm 1, \pm 2, \dots$ . Каждое



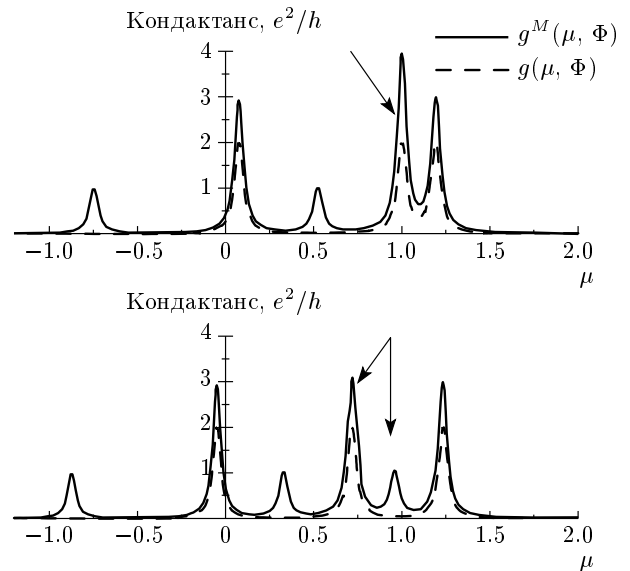
**Рис. 2.** Кондактанс баллистического квантового кольца без СОВ (*а*) и с учетом СОВ (*б*). Значения химического потенциала даны в единицах вращательного кванта  $B = \hbar^2/2m^*a^2$ , величина кондактанса — в единицах  $e^2/h$

состояние с данным  $\ell$  двукратно вырождено по спину, а при  $\Phi = n/2$ , где  $n$  — целое, вырождение четырехкратное. Учет спин-орбитального взаимодействия приводит к расщеплению этих состояний по хиральности (см. (23)), и вырождение при  $\Phi = n/2$  становится двукратным. Чтобы качественно выяснить зависимость кондактанса от химического потенциала и магнитного потока, будем считать  $\Gamma_{m\sigma}$  постоянной  $\Gamma_{m\sigma} = \Gamma$ . Тогда полный кондактанс равен

$$g = -\frac{e^2\Gamma}{h} \sum_{m,\sigma} \text{Im} G_{m\sigma,m\sigma}^R(\mu). \quad (24)$$

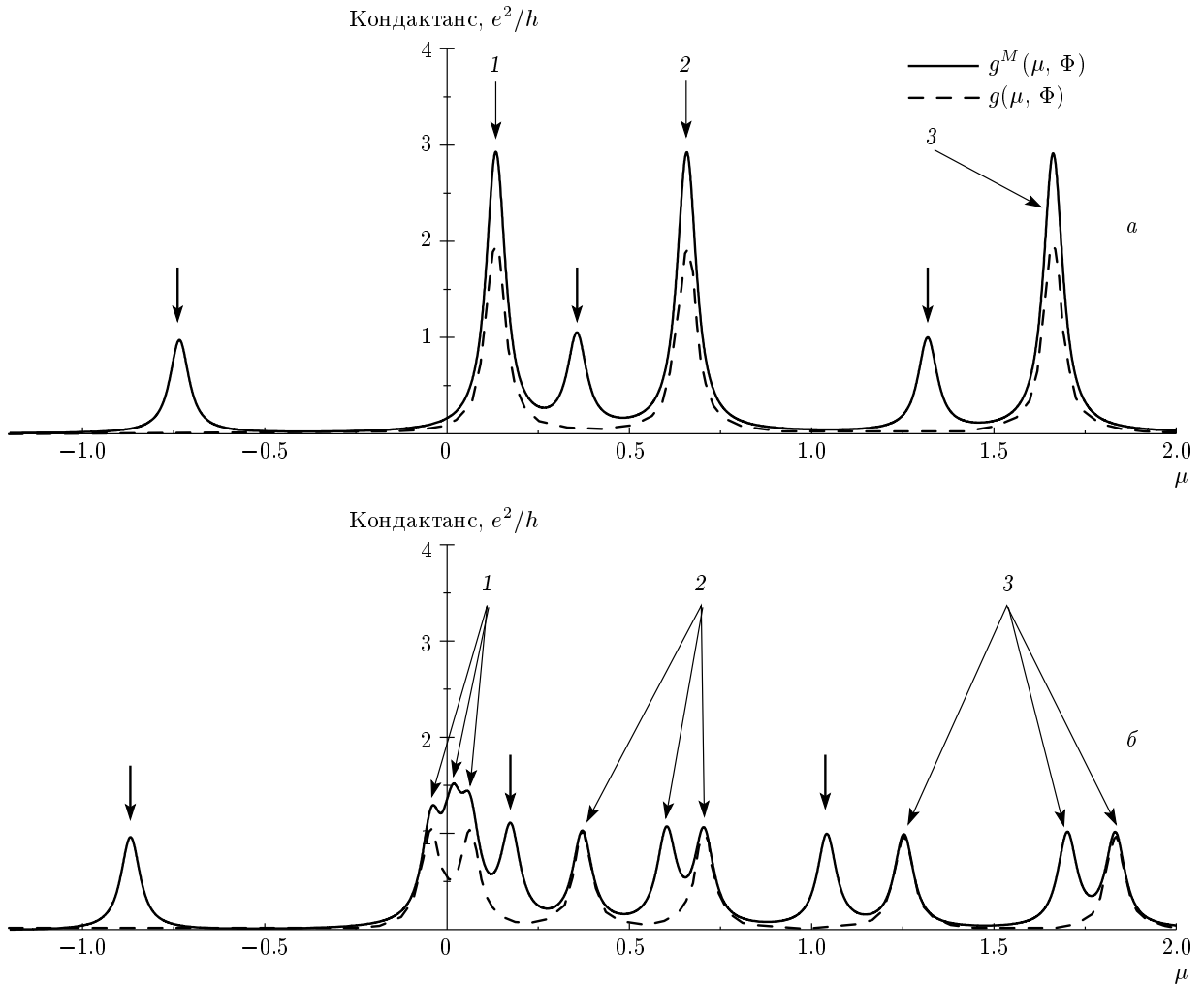
Для парамагнитной примеси индекс  $\sigma$  заменится на  $\alpha$ , где  $\alpha$  нумерует состояния (15). На рис. 2 представлена зависимость  $g^0(\mu, \Phi)$  для баллистического (без примесей) кольца для случая без СОВ (*а*) и при наличии СОВ (*б*). Величина кондактанса дана в единицах  $e^2/h$ . На рис. 2*а* видно, что, поскольку каждое состояние с данным  $\ell$  двукратно вырождено по спину, величина кондактанса достигает значения  $2e^2/h$ . В точках, где  $\Phi = n/2$ , вырождение четырехкратное и кондактанс достигает величины  $4e^2/h$ . Как указывалось выше, СОВ снимает спиновое вырождение и максимально возможная кратность вырождения равна двум. Сказанное иллюстрирует рис. 2*б*. Действительно, значение кондактанса при наличии СОВ не превышает величины  $2e^2/h$  в точках пересечения уровней.

Выясним теперь влияние примеси на высоту и положение резонансов кондактанса как функции магнитного потока и положения химического потенциала. На рис. 3 показана зависимость кондактанса



**Рис. 3.** Кондактанс квантового кольца для бесспиновой и парамагнитной примесей как функция химического потенциала при нулевом магнитном потоке без учета СОВ (*а*), при наличии СОВ (*б*). Значения химического потенциала даны в единицах вращательного кванта  $B = \hbar^2/2m^*a^2$ . Постоянная спин-орбитального взаимодействия  $\alpha = 3.2 \cdot 10^{-22}$  эрг · см,  $U_0 = 0.1$ ,  $J = 0.4$

от химического потенциала для бесспиновой  $g$  и парамагнитной  $g^M$  примесей при нулевом магнитном потоке. Для парамагнитной примеси первые два пика (слева направо) соответствуют основному ор-



**Рис. 4.** Кондактанс квантового кольца для бесспиновой и парамагнитной примесей как функция химического потенциала при ненулевом магнитном потоке без учета СОВ (а), при наличии СОВ (б). Значения химического потенциала даны в единицах вращательного кванта  $B = \hbar^2/2m^*a^2$ . Постоянная спин-орбитального взаимодействия  $\alpha = 3.2 \cdot 10^{-22}$  эрг · см, магнитный поток  $\Phi = 0.25$ ,  $U_0 = 0.1$ ,  $J = 0.4$

битальному состоянию и значению полного спина ( $\mathbf{I} = \mathbf{S}_i + \mathbf{s}_e$ )  $I = 0$  и  $I = 1$ . Состояние  $I = 1$  трехкратно вырождено по проекции  $I_Z = 0, \pm 1$  и, следовательно, высота пика кондактанса достигает величины  $3e^2/h$ . Высота резонанса при  $I = 0$  равна  $e^2/h$ , что соответствует одному значению проекции  $I_Z = 0$ . Что касается бесспиновой примеси, то основному состоянию соответствует дважды вырожденное состояние (по спину электрона) и высота пика в резонансе равна  $2e^2/h$ . Следующая группа пиков в районе  $0.5 \leq \mu \leq 1.5$  соответствует первым возбужденным орбитальным состояниям (при нулевом магнитном потоке для пустого кольца это состояния  $E_{\ell=\pm 1}$ ). Чтобы выяснить характер вырождения и качественно определить расположение резонансов,

будем считать величины  $U_0, J$  малыми,  $U_0, J \ll B$  (в нашем расчете на рис. 3  $U_0 = 0.1B$ ,  $J = 0.4B$ ), и для приближенного нахождения уровней энергии воспользуемся теорией возмущений для вырожденных состояний, поскольку при  $\Phi = 0$  в кольце без примесей  $E_{\ell=1} = E_{\ell=-1}$ . Решение соответствующего секулярного уравнения дает

$$E_{\ell=\pm 1} \rightarrow \begin{cases} \varepsilon_1 = B, \\ \varepsilon_2 = B + 2U_0, \\ \varepsilon_1^M = B, \\ \varepsilon_2^M = B + 2J \cdot \frac{1}{2} \left( I(I+1) - \frac{3}{2} \right). \end{cases}$$

Первые два состояния соответствуют бесспиновой

примеси, следующие два — парамагнитной. Отсюда видно, что для бесспиновой примеси имеются два двукратно (по спину электрона) вырожденных состояния, расположенные (в единицах вращательного кванта  $B$ ) при  $\mu = 1$ ,  $\mu = 1 + 2 \cdot 0.1 = 1.2$ . Эти значения (для малых  $U_0, J$ ) хорошо согласуются с точным расчетом положения резонансов для бесспиновой примеси на рис. 3а. Высота этих резонансов равна  $2e^2/h$  вследствие вырождения по спину. Для парамагнитной примеси имеются два состояния: одно, четырехкратно (по полному спину) вырожденное, расположенное при  $\mu = 1$  с высотой  $4e^2/h$  и два состояния  $\varepsilon_2^M(I=0)$ ;  $\varepsilon_2^M(I=1)$ , расположенные при  $\mu \approx 0.4$ ;  $\mu = 1.2$ . Высота резонансов на этих состояниях соответствует кратности их вырождения соответственно  $g^M(\mu) = e^2/h$  для  $\mu = \varepsilon_2^M(I=0)$  и  $g^M(\mu) = 3e^2/h$  для  $\mu = \varepsilon_2^M(I=1)$ . Учет СОВ расщепляет четырехкратно вырожденное состояние на трехкратное и однократное, рис. 3б. Аналогичная картина расположения резонансов и кратности их вырождения при нулевом магнитном потоке имеет вид и для расщепления более высоких орбитальных состояний  $E_{|\ell|>2}$ . Отметим, что хотя мы и применили теорию возмущений для приближенного нахождения положений резонансов, результаты, представленные на рисунках, являются точными и пригодны при любых значениях  $U_0, J$ .

Рассмотрим теперь ненулевое значение магнитного потока (рис. 4). Для бесспиновой примеси в отсутствие СОВ имеются три двукратно вырожденных состояния, как показано на рис. 4а. При наличии СОВ (рис. 4б) вырождение по спину электрона снимается и имеется шесть резонансов высотой  $e^2/h$ . В случае парамагнитной примеси, в отсутствие СОВ имеются три трехкратно ( $I=1$ ) вырожденных состояния, отмеченные на рис. 4а длинными стрелками с цифрами и три однократно ( $I=0$ ) вырожденных, отмеченные короткими стрелками на рисунке. Четырехкратное вырождение при  $\mu = \varepsilon_1^M$ , имеющее место в нулевом потоке, при  $\Phi \neq 0$  снимается. Учет СОВ при  $\Phi \neq 0$  приводит к полному снятию вырождения всех трехкратно вырожденных состояний, в то время как состояния с  $I=0$  претерпевают лишь сдвиг в сторону меньших энергий. Соответствующие расщепления резонансов показаны на рис. 4б.

Обсудим теперь зависимость кондактанса от магнитного потока сквозь кольцо. Полный кондактанс для бесспиновой  $g$  и магнитной  $g^M$  примесей является четной функцией магнитного потока, как показано на рис. 5. Однако построение соответствующих графиков (мы не приводим) показывает, что парциальные вклады для бесспиновой примеси  $g_\uparrow, g_\downarrow$  и

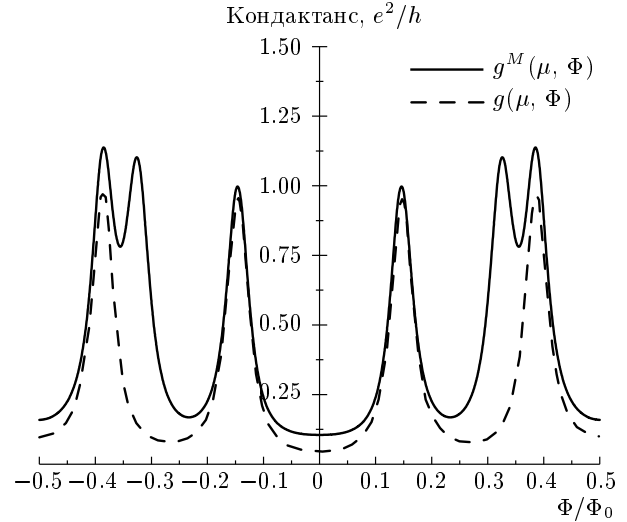


Рис. 5. Кондактанс квантового кольца для бесспиновой и парамагнитной примесей как функция магнитного потока сквозь кольцо при заданном значении химического потенциала. Химический потенциал  $\mu = 0.5$ , постоянная спин-орбитального взаимодействия  $\alpha = 3.2 \cdot 10^{-22}$  эрг·см,  $U_0 = 0.1$ ,  $J = 0.4$

магнитной примеси  $g_{\uparrow\uparrow}^M, g_{\downarrow\downarrow}^M, g_{\uparrow\downarrow}^M, g_{\downarrow\uparrow}^M$  в общем случае не обладают такой четностью. При наличии в кольце примеси (без СОВ) имеют место следующие соотношения: для бесспиновой примеси  $g_\uparrow(\Phi) = g_\downarrow(\Phi)$ , для парамагнитной примеси  $g_{\uparrow\uparrow}^M(\Phi) = g_{\downarrow\downarrow}^M(\Phi)$  и  $g_{\uparrow\downarrow}^M(\Phi) = g_{\downarrow\uparrow}^M(\Phi)$ , где, однако,  $g_{\uparrow\uparrow}^M(\Phi) \neq g_{\downarrow\downarrow}^M(\Phi)$ . Для парамагнитной примеси первые два равенства очевидны (см. матрицу  $(\mathbf{Ss})_{\alpha,\gamma}$  в (26)) вследствие вырождения состояний (в отсутствие СОВ и зеемановских членов). Третье неравенство связано с учетом спин-флип процессов в (27). При изменении знака потока имеем равенства

$$g_\uparrow(\Phi) = g_\uparrow(-\Phi), \quad g_{\uparrow\uparrow}^M(\Phi) = g_{\uparrow\uparrow}^M(-\Phi), \\ g_{\uparrow\downarrow}^M(\Phi) = g_{\uparrow\downarrow}^M(-\Phi).$$

При наличии СОВ

$$g_\uparrow(\Phi) \neq g_\downarrow(\Phi), \quad g_{\uparrow\uparrow}^M(\Phi) \neq g_{\downarrow\downarrow}^M(\Phi), \\ g_{\uparrow\downarrow}^M(\Phi) \neq g_{\downarrow\uparrow}^M(\Phi)$$

вследствие расщепления электронных состояний ( $\uparrow\downarrow$ ), причем каждая из приведенных функций не обладает определенной четностью по  $\Phi$ . Однако из анализа графиков следует, что суммы  $g_{\uparrow\uparrow}^M(\Phi) + g_{\downarrow\downarrow}^M(\Phi)$  и  $g_{\uparrow\downarrow}^M(\Phi) + g_{\downarrow\uparrow}^M(\Phi)$  будут четными функциями  $\Phi$  и, более того, выполняются следующие условия симметрии:  $g_{\uparrow\uparrow}^M(\Phi) = g_{\downarrow\downarrow}^M(-\Phi)$  и



$g_{\uparrow\downarrow}^M(\Phi) = g_{\downarrow\uparrow}^M(-\Phi)$  (инвариантность по отношению к изменению знака времени). Разумеется, это заключение справедливо для бесспиновой примеси и в случае чисто баллистического кольца.

В заключение отметим, что все приведенные выше зависимости остаются в силе при изменении знака постоянной СОВ (изменения направления нормали к плоскости кольца). Для кольца без примесей и при наличии бесспиновой примеси это следует из анализа выражений (5), (8) и (13). Для парамагнитной примеси такой анализ сложно провести ввиду громоздкости выражений (19), (20). Однако построение соответствующих графиков (мы не приводим) показывает, что это утверждение справедливо и для парамагнитной примеси. При расчетах мы использовали следующие значения параметров:  $a = 200$  нм,  $\alpha = 3.2 \cdot 10^{-22}$  эрг  $\cdot$  см,  $m^* = 0.063m_0$ (GaAs),  $\Gamma = 0.03B$ .

Благодарим Э. Г. Батыева за полезные обсуждения.

Работа выполнена при финансовой поддержке РФФИ (грант № 05-02-16939), Совета при Президенте РФ (ИШ 4500, 2006.2) и программы РАН. Один из авторов (В. М. К.) благодарит за поддержку фонд «Династия».

## ЛИТЕРАТУРА

1. I. Zutic, J. Fabian, and S. Das Sarma, *Rev. Mod. Phys.* **76**, 323 (2004).
2. J. Nitta, F. E. Meijer, and H. Takayanagi, *Appl. Phys. Lett.* **75**, 695 (1999).
3. D. Frustaglia and K. Richter, *Phys. Rev. B* **69**, 235310 (2004).
4. B. Molnar, F. Peeters, and P. Vasilopoulos, *Phys. Rev. B* **69**, 155335 (2004).
5. U. Aeberhard, K. Wakabayashi, and M. Sigrist, *Phys. Rev. B* **72**, 075328 (2005).
6. A. G. Aronov and Y. B. Lyanda-Geller, *Phys. Rev. Lett.* **70**, 343 (1993).
7. S. K. Joshi, D. Sahoo, and A. M. Jayannavar, *Phys. Rev. B* **64**, 075320 (2001).
8. B. S. Monozon and P. Schmelcher, *Phys. Rev. B* **67**, 045203 (2003).
9. L. G. G. V. Dias da Silva, S. E. Ulloa, and A. O. Gonorov, *Phys. Rev. B* **70**, 155318 (2004).
10. B. S. Monozon, M. V. Ivanov, and P. Schmelcher, *Phys. Rev. B* **70**, 205336 (2004).
11. M. D. Kim, Ch. K. Kim, and K. Nahm, *Phys. Rev. B* **72**, 085333 (2005).
12. L. G. Mourokh, N. J. M. Horing, and A. Yu. Smirnov, *Phys. Rev. B* **66**, 085332 (2002).
13. T. V. Shahbazan, and M. E. Raikh, *Phys. Rev. B* **49**, 17123 (1994).
14. D. Loss and E. V. Sukhorukov, *Phys. Rev. Lett.* **84**, 1035 (2000).
15. H. Akera, *Phys. Rev. B* **47**, 6835 (1993).
16. U. Gerland, J. v. Delft, T. A. Costi, and Y. Oreg, *Phys. Rev. Lett.* **84**, 3710 (2000).
17. W. Hofstetter, J. König, and H. Schoeller, *Phys. Rev. Lett.* **87**, 156803 (2001).
18. D. Boese, W. Hofstetter, and H. Schoeller, *Phys. Rev. B* **66**, 125315 (2002).
19. T. Kim and S. Hershfield, *Phys. Rev. Lett.* **88**, 136601 (2002).
20. R. López, R. Aguado, and G. Platero, *Phys. Rev. Lett.* **89**, 136802 (2002).
21. B. Kubala and J. König, *Phys. Rev. B* **65**, 245301 (2002).
22. A. Silva, Y. Oreg, and Y. Gefen, *Phys. Rev. B* **66**, 195316 (2002).
23. A. Ueda, I. Baba, K. Suzuki, and M. Eto, *J. Phys. Soc. Jpn.* **72**, Suppl. A 157 (2003).
24. Y. Gefen, Y. Imry, and M. Ya. Azbel, *Phys. Rev. Lett.* **52**, 129 (1984).
25. M. Büttiker, Y. Imry, and M. Ya. Azbel, *Phys. Rev. A* **30**, 1982 (1984).
26. B. Kubala, and J. König, *Phys. Rev. B* **67**, 205303 (2003).
27. Y. Meir and N. S. Wingreen, *Phys. Rev. Lett.* **68**, 2512 (1992).
28. A.-P. Jauho, N. S. Wingreen, and Y. Meir, *Phys. Rev. B* **50**, 5528 (1994).
29. Ю. А. Бычков, Э. И. Рашба, Письма в ЖЭТФ **39**, 66 (1984).
30. A. V. Chaplik and L. I. Magarill, *Superlattices and Microstructures* **18**, 321 (1995).